



مقاله پژوهشی

## بررسی عملکردی اثر فاکتور رونویسی $\beta$ -catenin EZH2 بر بیان مارکر YM-1 در رده سلولی کارسینومای سلول‌های سنگفرشی مری

فاطمه نورمحمدی<sup>۱</sup>، محمدمهری فرقانی فرد<sup>۱\*</sup>، وجیهه زرین پور<sup>۱</sup>، محمدرضا عباسزادگان<sup>۲</sup>

۱- گروه زیست‌شناسی، واحد دامغان، دانشگاه آزاد اسلامی، دامغان، ایران

۲- مرکز تحقیقات ژنتیک پزشکی، دانشکده علوم پزشکی مشهد، مشهد، ایران

\* مسئول مکاتبات: forghanifard@gmail.com

تاریخ دریافت: ۱۴۰۲/۰۳/۰۱ تاریخ پذیرش: ۱۴۰۲/۰۵/۰۹

DOI: 10.22034/ascij.2023.1992183.1516

### چکیده

سرطان مری به عنوان ششمین عامل مرگ و میر در اثر سرطان در جهان و هشتمین سرطان شایع در جهان می‌باشد. از شاخص‌ترین ویژگی‌های این سرطان مقاومت به شیمی‌رادیو تراپی و درصد بالای عود مجدد در بیماران می‌باشد. مارکر بتا-کاتنین یکی از اصلی‌ترین عوامل متاستاز و تهاجم در بیماران می‌باشدند. ژن EZH2 یک فاکتور تنظیمی بیان ژن بوده و تکثیر سلول‌های تومور را افزایش می‌دهد و پرتوانی سلول‌های بنیادی را حفظ می‌کند. EZH2 به طور غیرطبیعی در انواع سرطان‌های بدخیم بیان می‌شود. بتا-کاتنین یک جزء ساختاری از اتصالات چسبنده به همراه کاده‌رین و عامل اصلی سیگنال‌دهی مسیر Wnt در هسته است. بیان نابجای بتا-کاتنین (β-catenin) اغلب منجر به سرطان و متاستاز می‌شود. در این مطالعه وکتور خاموش‌سازی ژن EZH2 در باکتری اشرشیا کولی کلون و سپس استخراج شده و در سلول‌های رده سرطانی مری YM-1 خاموش شده است. سپس استخراج RNA و سترن cDNA پس از تایید خاموش‌سازی ژن EZH2 بیان بتا-کاتنین با استفاده از تکنیک Real-time PCR مورد ارزیابی قرار گرفت. تست سلولی مهاجرت سلولی برای بررسی سرعت تهاجم سلول‌ها بعد از دستکاری ژنتیکی استفاده شد. نتایج، کاهش بیان بتا-کاتنین را در رده‌های سلولی تحت القای خاموش‌سازی EZH2 نشان داد. خاموش‌سازی EZH2 بطور معنی‌داری میزان رشد و مهاجرت سلول‌های سرطانی مری را کاهش داد. نتایج حاکی از نقش ژن EZH2 در تنظیم بیان ژن بتا-کاتنین در سرطان سلول‌های سنگفرشی مری می‌باشد. با توجه به این که انتشار تومور یکی از مهمترین عوامل بدخیمی سرطان ESCC می‌باشد و از طرفی این ویژگی‌های سرطان مری به علت متاستاز و تهاجم موجب مرگ زودرس بیماران می‌گردد، یافتن مارکر موثر در کنترل سلول‌های بنیادین سرطانی می‌تواند نوبت‌بخش درمان بیماران ESCC باشد.

کلمات کلیدی: سرطان سلول‌های سنگفرشی مری، بتا-کاتنین، EZH2، shRNA

### مقدمه

ده میلیون نفر در سرتاسر دنیا می‌باشد. بروز سرطان مری از لحاظ موقعیت جغرافیایی متفاوت بوده به طوری‌که محدوده‌ی جغرافیایی بین شمال ایران تا شمال چین را کمربند سرطان مری می‌دانند. استان گلستان در شمال ایران به خصوص یکی از پر

سرطان سلول‌های سنگفرشی مری (ESCC) هشتمین بدخیمی رایج و ششمین بدخیمی کشنده بر اثر سرطان در سراسر جهان می‌باشد (۷). همچنین، سرطان مری در ایران رتبه‌ی هفتم در شیوع سرطان را دارد (۲). این سرطان سالانه مسئول مرگ بیش از

نتیجه باعث ایجاد سرطان مانند کلورکتال، ملانوم و سرطان سینه می‌شود (۳۵). با وجود توسعه درمان سرطان، مقاومت دارویی سرطان همچنان یک مشکل جدی است (۳۶، ۳۰). EZH2 نقش مهمی در مقاومت دارویی سلول‌های سرطانی ایفا می‌کند. بیان بیش از حد EZH2 باعث افزایش مقاومت شیمیایی در سرطان ریه سلول کوچک، کارسینوم سلول سنگفرشی سر و گردن (HNSCC) و گلیوبلاستوما می‌شود (۳۶). بتا-کاتنین (Armadillo) در مگس سرکه) یک مولکول چند وظیفه‌ای و حفاظت شده از نظر تکاملی است که در متازوآ نقش مهمی در بسیاری از فرآیندهای رشدی و هموستاتیک ایفا می‌کند. به طور خاص، بتا-کاتنین یک جزء ساختاری جدایی ناپذیر از اتصالات چسبنده مبتنی بر کاده‌رین، و عامل اصلی هسته‌ای سیگنال‌دهی رونویسی بر کاده‌رین، و منجر به سرطان و متاستاز می‌شود (۱۸). بتا-کاتنین نام یک پروتئین با عملکرد دوگانه است که در تنظیم و هماهنگی چسبنده سلول به سلول و همچنین رونویسی ژن‌ها نقش دارد و در انسان توسط ژن Wnt متuarف در هسته است (۲۶). عدم تعادل در خواص ساختاری و سیگنال‌دهی بتا-کاتنین اغلب منجر به سرطان و متاستاز می‌شود (۱۸). بتا-کاتنین نام یک پروتئین با عملکرد دوگانه است که در تنظیم و هماهنگی چسبنده سلول به سلول و همچنین رونویسی ژن‌ها نقش دارد و در انسان توسط ژن CTNNB1 کد می‌شود. بتا-کاتنین یکی از زیرواحدهای کمپلکس پروتئینی کاده‌رین است و به عنوان یک فرستنده سیگنال درون سلولی در مسیر سیگنال‌دهی Wnt عمل می‌کند (۳۲). بتا-کاتنین برای اولین بار به دلیل نقشش در اتصالات چسبنده مبتنی بر کاده‌رین که ارتباطات سلول-سلول را تشکیل می‌دهد، شناخته شد (۲۸). بتا-کاتنین ۹۰ کیلو Dalton است که در شرایط فیزیولوژیکی طبیعی به رشد سلولی کمک می‌کند. بتا-کاتنین حاوی ۱۲ تکرار آرمادیلو است که به APC و Axin متصل می‌شود (۲۵). فسفوریلاسیون بتا-کاتنین متصل به اکسین توسط CK-1 و GSK-3، بتا-کاتنین برای یوبی کوئینیناسیون و تحریب پروتئازومی نشان می‌دهد (۱۱). بتا-کاتنین نقش

بروزترین نقاط در جهان می‌باشد (۹، ۲۴). سرطان مری از لحاظ هیستولوژی و بافت شناسی به دو نوع اصلی تقسیم می‌شود: سرطان سلول‌های سنگفرشی مری (E SCC) و آدنوکارسینوم مری (E ADC). نوع E SCC با حدود ۸۰ درصد به عنوان رایج‌ترین فرم سرطان مری می‌باشد. صرف نظر از تمامی پیشرفت‌های حاصله در زمینه تشخیص و درمان سرطان همچنان بقا کلی در بیماران مبتلا به سرطان مری بسیار کمتر از سایر سرطان‌ها می‌باشد. یکی از مهمترین مشکلات در درمان بیماران مبتلا به E SCC متاستاز و تهاجم تومور به بافت‌های اطراف ریه، کلیه و غیره می‌باشد. علت اصلی بیان مارکرهای کمک کننده به مسیر EMT می‌باشد. از جمله این نوع مارکرهای می‌توان به EZH2 و بتا-کاتنین اشاره نمود (۵، ۸). EZH2 یک زیرواحدهای کاتالیزوری هسته PRC2 بوده و یک عضو حیاتی از خانواده PcG است که تری-متیلاسیون هیستون H3 لیزین ۲۷ (H3K27me3) را تنظیم می‌کند و ژن‌های هدف پایین دست را سرکوب می‌کند. EZH2 تکثیر سلول‌های تومور را افزایش می‌دهد و پرتوانی سلول‌های بنیادی را حفظ می‌کند. همچنین EZH2 به طور غیرطبیعی در انواع سرطان‌های بدخیم بیان می‌شود. EZH2 زیرواحدهای کاتالیزوری کمپلکس PRC2/EED-EZH2 در گروه پروتئینی پلی‌کامپ G می‌باشد که می‌تواند Lys-9 (H3K27me) و Lys-27 (H3K9me) را در هیستون H3 متیله کند و منجر به سرکوب رونویسی در ژن هدف شود. ترجیحی برای بسترهایی با متیلاسیون کمتر نشان می‌دهد، وقتی گروههای متیله به تدریج در H3K27me0 > H3K27me1 > H3K27me2.H3K27 ترکیب می‌شوند، فعالیت خود را از دست می‌دهد (۱۴، ۱۵، ۱۶، ۳۴). EZH2 در تنظیم پیشرفت چرخه سلولی نقش دارد و اختلال در تنظیم EZH2 تکثیر سلولی را تسريع می‌کند و بقا را افزایش می‌دهد و در

تعامل داشته باشد و پروتئین‌های ایمپورتین/کاریوفرین را دور بزند (۳۸). انتقال اپیتیلیال-مزانشیمی (EMT) یک فرآیند رشدی مهم که با تغییر در چسبندگی سلول به سلول تعديل می‌شود. در طول EMT، سلول‌های اپیتیلیال نسبتاً بی‌حرکت قطبی شده مورفولوژی خود را به سلول‌های مزانشیمی فیبروبلاستوئید بسیار متحرک تغییر می‌دهند. EMT نقش مهمی در طول رشد جنین ایفا می‌کند و باعث تهاجم سرطان و تشکیل متاستازها می‌شود (۲۹). یکی از مشخصه‌های EMT ناپدید شدن E-cadherin از غشای سلولی و جایگزینی آن با N-cadherin است. کاهش E-cadherin اغلب با افزایش سطح سیتوپلاسمی آزاد بتا-کاتنین مرتبط است، که در صورت فرار از تخریب سیتوپلاسمی می‌تواند منجر به افزایش رونویسی بتا-کاتنین (۲۰). در انتقال‌های مرتبط با پیشرفت سرطان، فعال‌سازی جهش‌های بتا-کاتنین می‌تواند رونویسی را افزایش دهد، که ممکن است پیامدهایی برای پیشرفت EMT داشته باشد. بسیاری از عوامل و مولکول‌های دیگر مؤثر بر EMT یا چسبندگی سلولی هستند که توسط سیگنال‌دهی Wnt/β-catenin تنظیم می‌شوند و بر عکس، نقص در چسبندگی اپیتیلیال پلاریزه می‌تواند بر خروجی رونویسی سیگنال‌دهی Wnt/β-catenin تأثیر بگذارد (۲۵). درمان هدفمند بیماران ESCC به صورتی که نه تنها هزینه‌های ناشی از شیمی‌درمانی و رادیوتراپی بی-هدف کاهش یابد بلکه به نحو قابل توجهی اثرات جانبی ناشی از این روش‌های درمانی در بیماران نیز کاسته شود. هدف از این تحقیق، تأثیر EZH2 در میزان بیان بتا-کاتنین به دنبال خاموش‌سازی بیان ژن EZH2 در رده سلولی کارسینومای سینگفرشی مری YM-1 می‌باشد.

مستقلی در فعال‌سازی رونویسی ژن‌های هدف Wnt دارد و یک عامل رونویسی مهم در سیگنال‌دهی Wingless-Int است و نقش مهمی در تجدید سلول‌های بنیادی و بازسازی اندام ایفا می‌کند. در بسیاری از سرطان‌ها، جهش اجزای مسیر Wnt منجر به فعال شدن انکوژن‌ها توسط کمپلکس فاکتور رونویسی TCF-β-catenin می‌شود (۱۹). سیگنال‌دهی با واسطه بتا-کاتنین، که فرآیندهای رشد را تنظیم می‌کند، ممکن است به عنوان یک ارتباط بالقوه بین التهاب و سرطان عمل کند (۶، ۴۰). پروتئین بتا-کاتنین جزء ضروری اتصالات بین سلولی و مسیر Wnt سیگنال‌دهی فاکتور رشد است (۱۰). گلیکوپروتئین‌های ترشح‌شده‌ای هستند که نقش مهمی در تنظیم مشخصات سرنوشت سلولی، تکثیر و تمایز در طول رشد و در بافت‌های مختلف بالغ دارند (۳). حداقل دو مخزن مجزا از بتا-کاتنین در سلول‌ها وجود دارد: ۱- استخر مرتبط با غشای پلاسمای بتا-کاتنین-E-کاده‌رین و ۲- استخر سیتوپلاسمی/هسته‌ای مرتبط با بتا-کاتنین در سیگنال‌دهی Wnt. مخزن دوم تا حدی توسط یک مجتمع چند پروتئینی متشکل از سرکوبگر تومور پلیپوز کلی آدنوماتوز (APC)، اکسین و پروتئین‌های گلیکوژن ستاز کیناز  $\beta^3$  تنظیم می‌شود (۲۳). بتا-کاتنین می‌تواند بین سیتوپلاسم و هسته حرکت کند. یک پروتئین هسته‌ای کلاسیک حاوی یک توالی محلی سازی هسته‌ای (NLS) است که به شدت به پروتئین منافذ هسته‌ای، ایمپورتین/کاریوفرین متعلق می‌شود. با کمک GTPase Ran، محموله از درون پوشش هسته‌ای جابجا شده و در هسته آزاد می‌شود. با این حال، بتا-کاتنین NLS ندارد. مشخص شده است که بتا-کاتنین می‌تواند به روشهای مستقل از ران وارد هسته شود. از آنجایی که بتا-کاتنین و ایمپورتین دامنه‌های تکرار آرمادیلو مشابهی دارند، بتا-کاتنین ممکن است مستقیماً با اجزای منافذ هسته‌ای

به مدت ۳ دقیقه سانتریفیوژ شد. اینبار پس از خارج نمودن محلول رویی رسوب باکتری در ۳۰۰ ماکرولیتر محلول کلرید کلسیم حل شد و به ۲۰ دقیقه روی یخ انکوبه شد (در این مرحله باکتری‌ها مستعد شده را می‌توان به مدت ۳ روز در یخچال ۴ درجه سانتیگراد نگهداری کرد). مقدار ۱۰۰ ماکرولیتر از سوسپانسیون حاوی سلول‌های مستعد را به یک میکروتیوپ جدید منتقل نمودیم و سپس به میزان ۱ ماکرولیتر از وکتور اضافه کردیم سپس به مدت ۳۰ دقیقه میکروتیوپ را روی یخ انکوبه کردیم.

ترانسفورمیشن شوک حرارتی وکتور به درون سلول‌های مستعد *E. Coli*: میکروتیوپ به بن ماری ۴۲ درجه سانتیگراد منتقل و ۹۰ ثانیه انکوبه شد. سپس بلافارسله بدون تکان شدید میکروتیوپ روی یخ ۴ درجه سانتیگراد به مدت ۵ دقیقه انکوبه شد. در این مرحله به میزان ۹۰۰ ماکرولیتر از محیط کشت مایع برات فاقد آنتی‌بیوتیک به محتویات میکروتیوپ افزوده و به مدت ۲ ساعت در انکوباتور شیکردار ۳۷ درجه سانتیگراد قرار داده شد تا باکتری‌های حاوی وکتور نوترکیب در محیط مساعد رشد قرار گیرند. پس از خارج کردن باکتری‌های نوترکیب از انکوباتور میکروتیوپ به مدت ۳ دقیقه با سرعت ۹۰۰۰ rpm سانتریفیوژ شد تا باکتری‌های نوترکیب رسوب کنند. به میزان ۷۰۰ ماکرولیتر از سوپرناتانت رویی به آرامی خارج و رسوب باکتری به خوبی در ۳۰۰ ماکرولیتر باقی مانده حل شد. مقدار ۱۰۰ ماکرولیتر از سوسپانسیون باکتریایی بر روی پلیت بدون آنتی‌بیوتیک آگار جامد و مقدار ۲۰۰ ماکرولیتر روی یک پلیت آگار حاوی آمپیسیلین افزوده و به خوبی به کمک یک لوب استریل حرارت دیده در کنار شعله کشت چمنی داده شد. به مدت یک شبانه روز پلیت‌های کشت داده شده به انکوباتور ۳۷ درجه سانتیگراد منتقل شدند. برای انتخاب کلونی نوترکیب، بعد از

## مواد و روش‌ها

برای ترانسفکشن وکتور خاموش‌سازی EZH2 و وکتور GFP از باکتری *E. Coli* TOP10 استفاده شد. یک تک کلنی از پلیت آگار جامد توسط لوب حرارت دیده از سطح پلیت برداشته شد و در لوله استریل حاوی ۵ میلی‌لیتر محیط کشت مایع LB در کنار شعله اضافه گردید، سپس لوله را در انکوباتور ۳۷ درجه سانتیگراد شیکردار قرار داده شد تا بعد از حدود ۱۵ ساعت رشد باکتری به فاز لگاریتمی رسیده و آماده ترانسفورماسیون شود.

آماده‌سازی سلول‌های شایسته به روش شیمیایی: باکتری استوک بدون تلقیح وکتور در محیط حاوی آنتی‌بیوتیک توانایی رشد ندارد. به این منظور وکتور حاوی ژن مورد نظر که دارای ژن مقاومت آنتی‌بیوتیک می‌باشد به روش شوک حرارتی وارد باکتری شد تا باکتری نوترکیب حاوی وکتور شناسایی شود. باکتری نوترکیب به آنتی‌بیوتیک مقاوم شده و بر روی پلیت آگار حاوی آنتی‌بیوتیک، کلنی‌های نوترکیب تشکیل دادند. پس از کشت باکتری ابتدا غلظت باکتری با دستگاه اسپکتروفوتومتر اندازه‌گیری شد تا مطمئن شویم باکتری در فاز لگاریتمی رشد خود قرار دارد (OD=600 nm). میزان ۱۳۰۰ ماکرولیتر از محیط کشت حاوی باکتری در کنار شعله به یک میکروتیوپ استریل ۱/۵ منتقل شده و به مدت ۳ دقیقه در سرعت ۹۰۰۰ rpm سانتریفیوژ شد. مایع رویی را خارج کرده و رسوب در ۱۰۰۰ ماکرولیتر محلول کلرید کلسیم خنک ۴ درجه سانتیگراد کاملاً حل شد. سپس به مدت ۳۰ دقیقه میکروتیوپ بر روی یخ انکوبه شد. مجدداً به مدت ۳ دقیقه در سرعت ۹۰۰۰ rpm سانتریفیوژ شد. مجدداً مایع رویی را دور ریخته و رسوب در ۶۰۰ ماکرولیتر محلول کلرید کلسیم حل گردید و به مدت ۲۰ دقیقه روی یخ باقی ماند. میکروتیوپ حاوی سلول‌های مستعد در دور ۹۰۰۰

سرعت ۱۳۴۰۰ rpm به مدت ۳ دقیقه انجام داده شد. برای حصول به غلاظت بالاتر وکتور مجدداً محلول زیری روی ستون ریخته و مرحله‌ی فوق تکرار شد. سکانس پلاسمید برای تایید مراحل کلونینگ: برای تایید کلونینگ و استخراج پلاسمید ابتدا دو پرایمر برای منطقه ورود بروی وکتور را طراحی نمودیم و سپس به میزان ۲۵ ماکرولیتر با غلاظت ۲۰۰ نانو گرم از محصول استخراج پلاسمید خود را به شرکت تکاپو زیست ارسال کردیم و نتایج حاصل از سکانسینگ را توسط نرم افزار CLC main workbench ۸ میزان پلاست نمودیم و نتایج کار تایید گردید. همچنین پلاسمید استخراج شده را روی ژل آگارز ۰/۸ درصد التروفورز نمودیم تا دقیقاً سایز باند حاصل از پلاسمید را برسی نماییم، تعیین غلاظت پلاسمید توسط دستگاه نانودار پ نیز انجام شد.

خاموش‌سازی و افزایش بیان ژن EZH2 توسط وکتورهای sh-RNA PSIREN EZH2 در رده سلولی YM-1 مري: از دو رده‌ی سلولی KYSE-30 و YM-1 استفاده شد. رده سلولی KYSE-30 از انيستيتو پاستور تهييه گردید. اين رده‌ی سلولی به نام گونه‌ی آسيابي سلول‌های سنگفرشی سلطان مري شناخته شده و در كشور ژاپن رده‌سازی و ثبت گردیده است. رده‌ی سلولی YM-1 از دانشكده‌ی علوم پزشكى گلستان تهييه گردید که مربوط به يك خانم ۵۰ ساله ايراني بوده و در دانشكده‌ی پزشكى گرگان رده‌سازی و ثبت جهانی گردید. محيط کشت سلولی محيطي مي باشد که سلول بتواند در آن به رشد، تکثیر و بقای خود ادامه دهد و نماید. محيط‌های کشت متفاوتی تاکنون ساخته شده است. محيط کشت، شامل انوع اسيدهای آمينه ضروري (در محيط کشت‌های ساده مانند MEM و يا تكميلي در محيط کشت‌های پيچيده مانند RPMI-1640 و DMEM، ويتمين‌ها، مواد معدنی و نوكليوزيدها مي باشد. هر نوع سلولی

گذشت ۲۴ ساعت انکوباسيون ۳۷ درجه سانتيگراد کاملاً کلنی‌ها رشد کرده بودند و تک کلنی‌های درشت و کره‌ای ابتدا انتخاب شده و توسط يك شناساگر پشت پليت علامت‌گذاري شدند. سپس هر تک کلنی به يك لوله حاوي محيط کشت برات (به ميزان ۵ ميلی ليتر که حاوي آنتيبيوتيك) با يك لوب استيريل حرارت دideه منتقل شد و به مدت ۱۵ ساعت در انکوباتور ۳۷ درجه شيكريدار قرار داده شد.

**استخراج پلاسمید از باكتري توسط کيت Thermo:** مقدار ۱۰۰۰ ماکرولیتر از محلول باكتري را به يك ميكروتيب ۱/۵ منتقل کرده و به مدت ۱ دقیقه با سرعت ۸۰۰۰ rpm سانتريفيوژ نموديم. سوپرناتانت روبي را خارج نموديم و رسوب باكتري در ۲۵۰ ماکرولیتر محلول رسوسپانسيون کيت Resuspension solution حل شد. سپس مقدار ۲۵۰ ماکرولیتر محلول ليزكتنده کيت Lysis solution افزوده و چند بار به آرامي سرو ته شد. بلافاصله مقدار ۳۵۰ ماکرولیتر محلول نوترالايزيز کيت Neutralization solution افزوده و به مدت ۶ دقیقه با سرعت ۱۳۴۰۰ دور سانتريفيوژ شد. ستون‌های کيت را داخل ميكروتيب‌های کيت قرار داديم و محلول روبي را خيلي آهسته خارج نموديم و ببروي ستون منتقل کرديم. سپس ستون‌ها با دور ۱۳۴۰۰ rpm به مدت ۱ دقیقه سانتريفيوژ شدند. ستون را خارج کرديم و محلول عبور کرده از ستون را دور ريختيم سپس محلول شتشو کيت Wash solution به ميزان ۵۰۰ ماکرولیتر روی ستون افزوده و با دور ۱۳۴۰۰ و به مدت ۱ دقیقه سانتريفيوژ شد. مجدداً مرحله شتشو تكرار گردید تا تمامی آلدگي‌های پروتئيني حذف شوند. سپس ستون به ميكروتيب ۱/۵ منتقال داده شد و به مقدار ۴۰ ماکرولیتر محلول الوت کتنده کيت Elution buffer افزوده و به مدت ۵ دقیقه در دماي محيط انکوبه شد. سپس سانتريفيوژ با

اتاق میکروتیوب انکوبه شد. محتویات میکروتیوب قطره قطره به سلول‌های مورد نظر افزوده شد. باید توجه داشت در این مرحله وجود FBS و آنتی‌بیوتیک مانع از ترانسفکشن با کارایی بالا می‌گردد به همین منظور حدود ۶ الی ۸ ساعت بعد FBS افزوده شد. پس از گذشت ۲ روز از ترانسفکشن وکتور حامل GFP توسط میکروسکوپ فلورسنت کارایی ترانسفکشن بررسی گردید.

**تست آنالیز بیان ژن توسط Real-time PCR:** ابتدا توالی ژن‌های مورد نظر از NCBI Gene Bank Ensemble استخراج و سپس برای طراحی پرایمرها برای ژن EZH2 و ژن‌های سلول‌های بنیادی سرطانی Allele ID6 استفاده شد. پرایمرهای طراحی شده همگی دارای شرایط بهینه از نظر محتوای GC در حد ۵۰٪ دارای Melting Temperature ۶۰ درصد بوده و دمای پرایمرهای F و R به یکدیگر نزدیک بود. برای بلاست پرایمرها از سایت مرجع NCBI استفاده و پس تایید نهایی به شرکت پیشگام سفارش سترن پرایمر داده شد. توالی پرایمرهای این مطالعه در جدول ۱ مشاهده می‌شود. سنجش بیان ژن توسط تست Real-time PCR برای ژن EZH2 و ژن  $\beta$ -catenin به صورت دوتایی انجام گردید. حجم نهایی هر استریپ در این تست SYBR Green Master Mix ۲۰ ماکرولیتر بوده و از (TAKARA) استفاده گردید. ژن GAPDH را به عنوان نرمال‌یزیر و سلول‌های ترانسفکت شده توسط وکتور GFP را به عنوان سلول نرمال (کترل) برای سنجش بیان ژن‌ها استفاده نمودیم برای انجام تست-Real-time PCR از دستگاه LightCycler® 96 Instrumen Roche استفاده شد. آنالیز داده‌های Real-time PCR به صورت fold change محاسبه شد. میزان معناداری کاهش بیان و یا افزایش بیان کمتر از ۲- و بیش از ۲+

نوع محیط کشت اختصاصی خود را نیاز دارد به عنوان مثال در پژوهش فوق رده سلولی KYSE-30 به محیط کشت اختصاصی RPMI-1640 و رده‌ی سلولی YM-1 به محیط کشت اختصاصی DMEM برای رشد خود نیاز دارند. در وهله‌ی اول برای کشت سلولی حتما باید زیر هودلامینار کلاس ۲ و یا بالاتر و در شرایط کاملا استریل فعایت نمود. محیط کشت مورد استفاده جهت کشت رده‌ی سلولی KYSE-30 و YM-1، محیط کشت DMEM1640- RPMI/ YM-1 در صد می‌باشد. به این صورت که برای آماده‌سازی محیط کشت در حجم ۵۰ میلی‌لیتر، ابتدا به میزان ۴۵ میلی‌لیتر از محیط کشت RPMI/DMEM را در یک فالکون استریل ۵۰ ریخته سپس ۴/۵ میلی‌لیتر از سرم FBS را افروده و نهایتاً ۵۰۰ ماکرولیتر از آنتی‌بیوتیک ترکیبی پنی‌سیلین (۲۰٪ واحد در میلی‌لیتر) و استرپتومایسین (۲۰٪ واحد در میلی‌لیتر)، به منظور پیشگیری از آلودگی قارچی-بacterیایی اضافه شد. ترانسفکشن رده‌های سرطانی سلولی مری بنیادین **X-treme GENE HP DNA** سرطانی توسط کیت ROCHE بدین منظور نیاز به وکتور بیانی کدکننده‌ی خاموش‌سازی EZH2 مکمل ژن EZH2 بود تا پس از ترانسفکشن آن میزان بیان EZH2 در سلول‌های سرطانی مری کاهش یابد. بدین منظور از وکتور بیانی EZH2 خاموش‌سازی PSIREN EZH2 استفاده شد. ابتدا شیشه حاوی محلول ترانسفکشن به دمای اتاق رسید و حدود ۱۵ ثانیه ورتسکس انجام شد. توسط جدول پروتکل کیت مقدار غلظت نانوگرم لازم از DNA پلاسمید محاسبه شد. حجم محاسبه شده از وکتور با OPTIMEM به خوبی مخلوط و ۵ دقیقه در دمای اتاق انکوبه شد. مقدار مناسب از محلول کیت دقیقا در مرکز میکروتیوب بدون کوچکترین تماسی با دیواره پلاستیکی میکروتیوب وارد و به آرامی پیپتاز گردید. به مدت ۳۰ دقیقه در فضای تاریک و دمای

**ترنسفکشن GFP در رده‌های سلولی ۱ YM-1**: برای بررسی ابتدایی موفق بودن شرایط ترانسفکشن از وکتور GFP استفاده شد. پس از ۲۴ الی ۴۸ ساعت توسط میکروسکوپ فلورسنت به رصد سلول‌های بیان‌کننده GFP پرداخته شد. به منظور تایید وکتورهای حاوی EZH2 برای ژن EZH2 از تست Real Time PCR استفاده شد. شکل ۲ ترانسفکشن GFP را نشان می‌دهد. درصد سلول‌های بیان کننده GFP بعد از ۴۸ ساعت بیشتر شده و همچنین میزان بیان GFP که با شدت نور سبز مشخص می‌باشد نیز بعد از ۴۸ ساعت افزایش یافت. با استناد به همین موضوع سلول‌های ترانسفکت شده بعد از ۴۸ ساعت تریپسینه و برای استخراج RNA اقدام شد.

**استخراج RNA**: به جهت بررسی کیفیت RNA استخراج شده نمونه‌های سلولی استخراج شده بر روی ژل آگارز ۱ درصد ران گردید تا پس از مشاهده‌ی باندهای 18s و 28s کیفیت RNAهای استخراجی تایید و برای سنجش CDNA و تست Real Time PCR اقدام شود.

**بیان ژن EZH2**: در اولین گام باید میزان بیان ژن EZH2 در سلول‌های YM-1 ترانسفکت شده تایید - شود. به این منظور ابتدا Real Time PCR برای ژن EZH2 در سلول‌های ترانسفکت شده هر سه وکتور و هردو رده‌ی سلولی بررسی شدند. سلول‌های ترانسفکت شده توسط وکتور GFP به عنوان کنترل در نظر گرفته شدند. سلول‌هایی که با وکتور خاموش-سازی EZH2 ترانسفکت شده بودند کاهش بیان ژن EZH2 را به میزان  $-9.51 \text{ Log}_2 \text{ Fold Change}$  به در سلول-1 YM-1 نشان دادند.

**اثر بیان خاموش‌سازی و القای افزایشی EZH2 بر بیان بتا-کاتین**: نتایج حاصل از تست Real Time PCR در شکل ۴ نشان داده شده است.

در نظر گرفته شد و بین ۲-۲+ به عنوان عدم تغییر بیان ژن محسوب گردید.

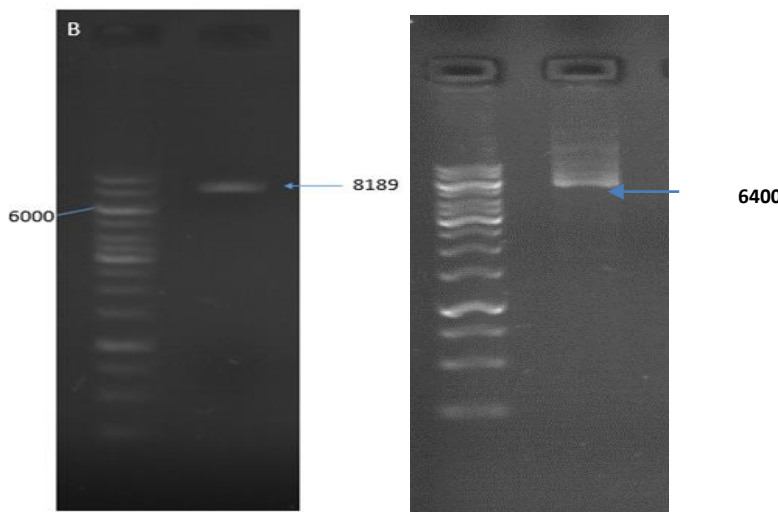
**EZH2**: بررسی مهاجرت سلول‌ها تحت تاثیر بیان EZH2 برای دستیابی به این هدف از تست خراش سلولی (Scratch Assay) استفاده نمودیم. طبق این تست پس انجام ترانسفکشن سلولی ابتدا سلول‌ها را تریپسینه کرده و شمارش کردیم، تعداد یک میلیون سلول را در هر چاهک از ظرف(پلیت) ۶ خانه که توسط محیط کشت اختصاصی فاقد FBS مربوط به هر سلول پر شده بود کشت دادیم. سپس ۲۴ ساعت سلول‌ها در انکوباتور ۳۷ درجه سانتیگراد انکوبه شدند و کاملاً به کف ظرف متصل شدند. سپس توسط یک سرسیمپلر زرد به صورت یه خط صاف کف ظرف خراش داده و عکسبرداری از سلول‌ها انجام گرفت. بعد از گذشت ۲۴ و ۴۸ ساعت نیز از سلول‌ها عکس گرفته شد و میزان مهاجرت سلولی محاسبه گردید. برای اندازه-گیری میزان مهاجرت سلولی از نرم‌افزار Image J v 4. 21 استفاده شد.

## نتایج

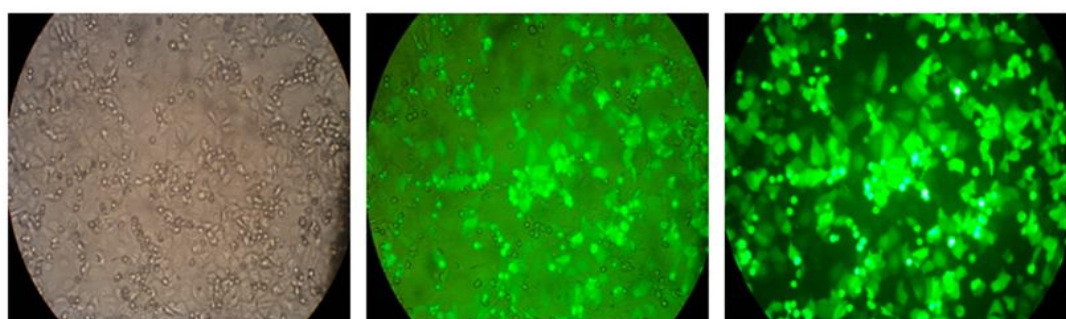
هر سه وکتور خاموش‌سازی EZH2، القای افزایشی Cac12 و GFP با روش شوک حرارتی- ترانسفورم کرده روی پلیت آگار برده شد و تک کلی‌های حاصل مجدداً در محیط کشت مایع LB برده و نهایتاً استخراج پلاسمید انجام شد. پس از اینکه باکتری‌ها در محیط کشت مایع رشد کردند و به فاز لگاریتمی رسیدند. استخراج پلاسمید انجام شد و روی ژل آگارز برده شد که نتایج در شکل ۱ گزارش گردید. همچنین برای تایید نهایی وکتور استخراج شده خاموش‌سازی EZH2 برای تعیین توالی مورد بررسی قرار داده شد. در انتهای غلظت وکتورها برای محاسبه در ترانسفکشن توسط دستگاه اسپکتروفوتومتر (نانودرایپ) اندازه-گیری گردید.

EZH2 خاموش‌سازی نسبت به سلول‌های کنترل، رشد بسیار آهسته‌تری داشتند (شکل‌های ۵ و ۶).

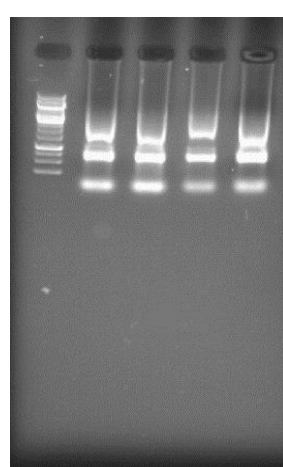
**مهاجرت سلولی توسط تست Scratch assay**  
سرعت رشد و مهاجرت سلول‌های ترانسفکت شده با



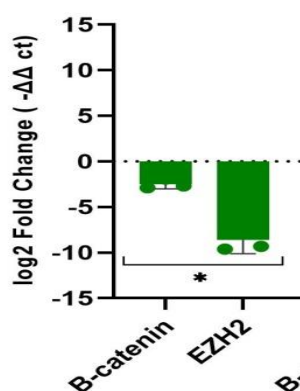
شکل ۱- نتایج حاصل از ران وکتورها بر ژل آگارز. A: وکتور GFP با طول ۸۱۸۹ جفت باز. B: وکتور خاموش‌سازی EZH2 با طول ۶۴۰۰ جفت باز



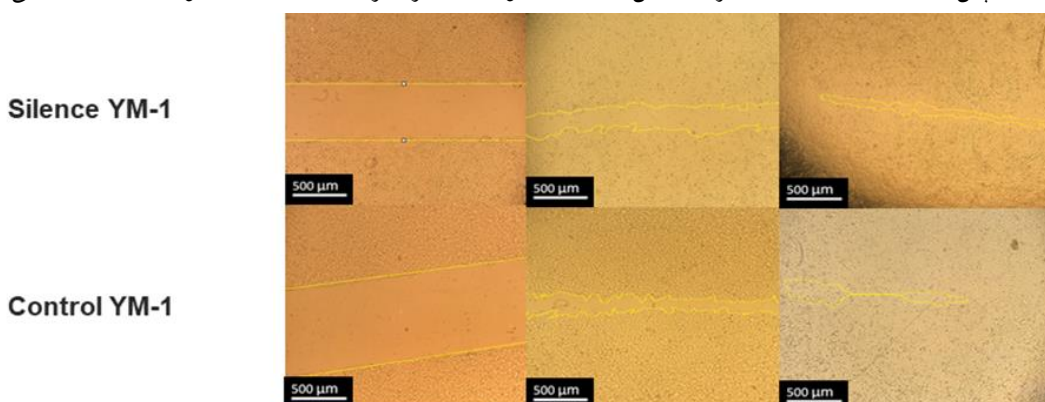
شکل ۲- ردهی سلولی ESCC پس از ترانسفکشن با وکتور GFP. A) سلول‌های KYSE-30 ترانسفکت شده پس از گذشت ۴۸ ساعت با بزرگنمایی لنز X ۲۰ ب) سلول‌های YM-1 پس از ترانسفکشن در ۴۸ ساعت



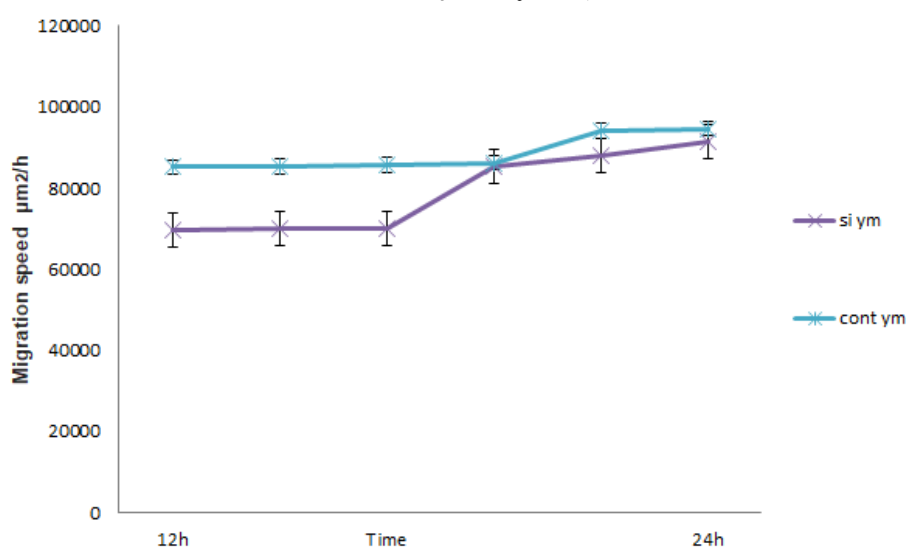
شکل ۳- نتایج حاصل از استخراج RNA دو وکتور خاموش‌سازی EZH2 می‌باشد. RNA استخراج شده پس از الکتروفورز باند‌های ۱۶S و ۲۸S در هر نمونه استخراج شده مشهود می‌باشد



شکل ۴- بیان نسبی ژن EZH2 در سلول YM-1 ترانسفکت شده با وکتور بیانی خاموش‌سازی در تصویر بررسی بیان ژن EZH2 پس از گذشت ۴۸ ساعت از ترانسفکشن به نسبت سلول‌های کنترل ترانسفکت شده با وکتور GFP مشاهده می‌گردد.



شکل ۵- تست مهاجرت سلولی سلول‌های سرطانی مری تحت اثر القاء وکتورهای خاموش‌کننده ژن EZH2 در مقایسه با سلول‌های کنترل. در رده‌ی با EZH2 کاهش یافته، مهاجرت سلولی نسبت به سلول‌های کنترل طی ۱۲ و ۴۸ ساعت کاهش چشمگیری از خود نشان دادند.



شکل ۶- سرعت مهاجرت سلولی مربوط به سلول‌های سرطانی مری تحت اثر القاء وکتورهای خاموش‌کننده‌ی ژن EZH2 شده در مقایسه با سلول‌های کنترل. همانطور که در تصویر مشهود می‌باشد کمترین ترخ سرعت رشد مربوط به سلول‌های YM-1 تحت خاموش‌سازی ژن EZH2 می‌باشد.

## بحث

بر مقاومت در برابر شیمی درمانی و رادیوتراپی برای خودنوسازی CSC و توموزایی نیز ضروری می‌باشد (۷). در این پژوهش سلول‌های بنیادی سرطانی مری را تحت القا ژن EZH2 بررسی نمودیم که می‌تواند پتانسیل درمان سرطان مری بصورت چشمگیری افزایش دهد و برای اولین بار نشان دادیم که به عنوان یک ژن تنظیم‌کننده ژن  $\beta$ -catenin در سرطان مری می‌باشد. جهش و بیان بیش از حد بتا-کاتنین با بسیاری از سرطان‌ها از جمله سرطان کبد، سرطان روده بزرگ، سرطان ریه، تومورهای بدخیم پستان، سرطان تخدمان و آندومتر مرتبط است. کاهش بیان بتا کاتنین باعث کاهش چسبندگی سلولی سلول‌های بدخیم شود و به رفتار بدخیم سلول‌های تومور کمک کند (۴۰). فعال‌سازی بتا-کاتنین ژن‌های مرتبط با اتصال سلولی را کاهش می‌دهد و باعث انتقال اپیتلیال به مزانشیمی در سرطان‌های کولورکتال می‌شود (۳۳). EMT شامل تضعیف اتصالات سلول-سلول مبتنی بر قادرین هموتیپ بین سلولی و لنگرگاه کادهرین-کاتنین به اسکلت سلولی است، در حالی که باعث القای بیان مولکول‌های چسبندگی می‌شود که چسبندگی ضعیف تر و هتروتیپی را منتقل می‌کنند. این ویژگی‌ها توانایی سلول‌های سرطانی را برای جدا شدن از بافت اولیه، اتصال به اجزای ECM و سایر سلول‌ها (به عنوان مثال، فیبروبلاست‌ها) و مهاجرت به سمت سیستم‌های لیفافی و خونی افزایش می‌دهد. سلول‌های تومور مهاجم علاوه بر نمایش خواص مشابه EMT، ویژگی‌هایی را که در سلول‌های بنیادی طبیعی دیده می‌شود نشان می‌دهند و بنابراین به عنوان سلول‌های بنیادی سرطانی توصیف می‌شوند (۴). افزایش بیان EZH2 موجب افزایش تمایل کمپلکس PRC2 به پروتئین HERES شده که خود موجب فعال‌سازی مسیر Wnt و افزایش بیان بتا کاتنین

در دنیای امروز، سرطان مری به یک تومور بدخیم شایع تبدیل شده است که نقش قابل توجهی در مرگ و میر ناشی از سرطان ایفا می‌کند. متاسفانه، شیوع سرطان مری به طور پیوسته در حال افزایش است و اکثر بیماران ESCC در مراحل پیشرفته یا دیررس تشخیص داده می‌شوند و علاوه بر درمان جراحی کاندیدای شیمی درمانی، پرتودرمانی و درمان‌های کمکی نیز هستند (۱۷). تحقیقات اخیر نشان داده است که ۲۱ تا ۳۹ درصد از بیماران سلول‌های سینگرفشی کارسینومای مری پس از درمان کامل همچنان دچار عود مجدد می‌شوند (۲۲، ۲۷). مطالعات زیادی نشان داده‌اند که ژن‌های EZH2 و  $\beta$ -catenin با تهاجم، متاستاز در بسیاری از سرطان‌ها مرتبط می‌باشند (۱). شناسایی مارکرهای جدید درمانی سرطانی مری می‌تواند بینش جدیدی در درمان بیماران ESCC ارائه دهد. ژن‌های خانواده‌ی پلی کامپ کدکننده‌ی تنظیم‌کننده‌های اپی‌ژنتیکی هستند که تغییرات خاص پس از ترجمه هیستون را کاتالیز می‌کنند. EZH2 تکثیر و تمایز ماهیچه‌های اسکلتی خونساز و سلول‌های بنیادی مغز را نیز انجام می‌دهد (۳۱). اکثر مطالعات عملکرد EZH2 را به عنوان یک سرکوب‌کننده رونویسی در سرطان بررسی کردند. اما EZH2، دارای فعالیت هیستون متیل ترانسفراز است، که عملکرد مهمی در تکثیر و نگهداری سلول‌های سرطانی دارد. EZH2 موجب افزایش مقاومت سلول‌های سرطانی را در برابر شیمی و رادیو درمانی می‌شود. EZH2 به عنوان یک نشانگر سلول‌های سرطانی عمل می‌کند. بیان ژن EZH2 در سلول‌های سرطانی در طیفی از تومورهای بدخیم، از جمله ملانوما، سرطان سینه، سرطان تخدمان، سرطان پانکراس، سرطان پوست، سرطان روده بزرگ و سرطان خون افزایش می‌یابد. همچنین، علاوه EZH2

درمان در بیماران کارسیونومای سلول‌های سنگفرشی مری را افزایش می‌دهد. در واقع درمان بر پایه‌ی ژن EZH2 به صورت موثری هم شناسایی تومور در مراحل اولیه و هم درمان پر بازده سرطان ESCC را افزایش می‌دهد.

#### منابع

1. Abbaszadegan M.R., Bagheri V., Razavi M.S., Momtazi A.A., Sahebkar A., Gholamin M. 2017. Isolation, identification, and characterization of cancer stem cells: A review. *Journal of Cellular Physiology*, 232(8):2008-2018.
2. Abnet C.C., Arnold M., Wei, W.Q. 2018. Epidemiology of esophageal squamous cell carcinoma. *Gastroenterology* 154:360-373.
3. Azbazdar Y., Karabici M. 2021. Regulation of Wnt signaling pathways at the plasma membrane and their misregulation in cancer. *Frontiers in Cell and Developmental Biology*, 9:631623.
4. Balzer E.M., Konstantopoulos K., 2012. Intercellular adhesion: mechanisms for growth and metastasis of epithelial cancers. *Wiley Interdisciplinary Reviews: Systems Biology and Medicine*, 4(2):171-181.
5. Baskaran N.U., Rajendiran A.M.S. 2020. 506 to study the clinical impact and prognostic value of tumor infiltrating Lymphocytes in esophageal squamous cell carcinoma. *Diseases of the Esophagus*, 33(1):1-4.
6. Bertrade C., Mbom W., Nelson J., 2013.  $\beta$ -catenin: A multi-functional protein's role at the centrosome and implications for a broader role in cell division. *Bioessays*, 35(9):804–809.
7. Bu J., Gu L., Liu X., Nan X., Zhang X., Meng L., Zheng Y., Liu F., Li J., Li Z., Sang M., Shan B. 2022. The circRNA circADAMTS6 promotes progression of ESCC and correlates with prognosis. *Scientific Reports*, 12(1):13757.
8. Fiera Costa E., Delgado Roel M, Paradela de la Morena M. 2019. *Atlas of Uniportal Video Assisted Thoracic Surgery*, pp: 109-114.
9. Ganji A., Esmaeilzadeh A., Hatef M. 2012. Prevalence of osteopenia and osteoporosis in patients with celiac disease in northeastern Iran. *Govaresh*, 16:223-227.

می‌شود (۳۹). نتایج حاصل از این پژوهش نشان داد EZH2 توانایی کنترل بیان بتا-کاتنین را دارد می‌باشد. در واقع بیان بتاکاتنین تحت القا ژن EZH2 بررسی شد که تعداد بسیار زیادی از آنها ارتباط تنظیمی مثبت را با ژن EZH2 نشان دادند. یعنی با افزایش بیان EZH2 بیان بتا-کاتنین نیز افزایش و بالعکس یا کاهش بیان EZH2 کاهش بیان از خود نشان داد. احتمالاً EZH2 از طریق مسیرهای سیگنالدهی و یا حد واسطه‌ای مولکولی بیان بتا-کاتنین را تنظیم می‌کند. همچنین ژن بتاکاتنین از جمله ژن‌های مهم مسیر WNT/BCAT می‌باشد. بررسی سایر ژن‌های این مسیر نیازمند بررسی در تحقیقات آتی خواهد بود. مطالعات پیشین نشان دادند که بیان غیر طبیعی EZH2 در ۱۶/۹ درصد از تومورهای ESCC مشاهده شد و این بیان افزایش یافته‌ی EZH2 با ویژگی‌های بالینی آسیب شناختی مانند اندازه، متاستاز و میزان بقا در بیماران ESCC همراه بود (۱۲). کاهش بیان EZH2 احتمالاً با کاهش متاستاز نیز مرتبط می‌باشد. در تایید این موضوع تست مهاجرت سلولی نیز بیانگر کاهش مهاجرت و رشد سلولی در سلول‌های با EZH2 خاموش یافته بود. بنابراین با القا کاهش بیان EZH2 احتمال متاستاز در بیماران درگیر با سرطان ESCC قابل کنترل و مهار خواهد بود که همین امر از بدخیمی و کشنده‌گی این بیماری می‌کاهد.

#### نتیجه‌گیری

در مجموع ژن EZH2 هم در تومورزایی، متاستاز، مقاومت به شیمی درمانی تهاجم سلول‌های سرطانی نقش بسیار مهمی را ایفا نموده. تمامی بررسی‌های بالینی حاکی از آن هستند که مشکلات اساسی بیماران ESCC در وهله‌ی اول متاستاز بوده و در وهله‌ی دوم عود مجدد تومور می‌باشد که تمامی این مشکلات تحت پوشش درمان با EZH2 حل شده و امید به

- Signal Transduction and Target Therapy*, 7(1):3.
19. Loh C.Y., Yi Chai J. 2019. The E-cadherin and N-cadherin switch in epithelial-to-mesenchymal transition: signaling, therapeutic implications, and challenges. *Cells*, 8(10):1118.
  20. Mahara S., Lee P.L., Feng M., Tergaonkar V., Chng W.J., Yu Q. 2016. HIFI-α activation underlies a functional switch in the paradoxical role of Ezh2/PRC2 in breast cancer. *Proceedings of the National Academy of Sciences*, 113(26):E3735-E3744.
  21. Meguid R.A., Hooker C.M., Taylor J.T., Kleinberg L.R., Cattaneo S.M., Sussman M.S., Yang S.C., Heitmiller R.F., Forastiere A.A., Brock MV. 2009. Recurrence after neoadjuvant chemoradiation and surgery for esophageal cancer: does the pattern of recurrence differ for patients with complete response and those with partial or no response. *The Journal of Thoracic and Cardiovascular Surgery*, 138(6):1309-1317.
  22. Orsulic S., Huber O., Aberle H., Arnold S., Kemler R. 1999. E-cadherin binding prevents beta-catenin nuclear localization and beta-catenin/LEF-1-mediated transactivation. *Journal of Cell Sciences*, 112(Pt 8):1237-1245.
  23. Sadjadi A., Marjani H., Semnani S., Naseri-Moghaddam S. 2010. Esophageal cancer in Iran: A review. *Middle East Journal of Cancer*, 1(1):5-14.
  24. Shang S., Hua F. 2017. The regulation of β-catenin activity and function in cancer: therapeutic opportunities. *Oncotarget*, 8(20):33972-33989.
  25. Valenta T., Hausmann G. 2012. The many faces and functions of β-catenin. *EMBO Journal*, 31(12): 2714-2736.
  26. Vallböhmer D., Hölscher A.H., DeMeester S., DeMeester T., Salo J., Peters J., Lerut T., Swisher S.G., Schröder W., Bollschweiler E., Hofstetter W. 2010. A multicenter study of survival after neoadjuvant radiotherapy/chemotherapy and esophagectomy for ypT0N0M0R0 esophageal cancer. *Annals of surgery*, 252(5):744-749.
  27. van der Wal T., van Amerongen R. 2020. Walking the tight wire between cell adhesion and WNT signalling: a balancing act for β-catenin. *Open Biology*, 10(12): 200267.
  28. Wang Y., Zhou B.P., 2011. Epithelial-mesenchymal transition in breast cancer
  10. Gopalkrishna Pai S., Carneiro B.A., 2017. Wnt/beta-catenin pathway: modulating anticancer immune response. *Journal of Hematology and Oncology*, 10:101.
  11. Hagen T., Vidal-Puig A. 2002. Characterisation of the phosphorylation of beta-catenin at the GSK-3 priming site Ser45. *Biochemical and Biophysical Research Communications*, 294(2):324-328.
  12. He L., Liu M.Z. 2010. High expression of EZH2 is associated with tumor aggressiveness and poor prognosis in patients with esophageal squamous cell carcinoma treated with definitive chemoradiotherapy. *International Journal of Cancer*, 127(1):138-47.
  13. Jipping K.M., Hulshoff J.B., van Amerongen E.A., Bright T.I., Watson D.I., Plukker J.T.M. 2017. Influence of tumor response and treatment schedule on the distribution of tumor recurrence in esophageal cancer patients treated with neoadjuvant chemoradiotherapy. *Journal of Surgical Oncology*, 116(8):1096-1102.
  14. Kim E., Kim M., Woo D.H., Shin Y., Shin J., Chang N., Oh Y.T., Kim H., Rheey J., Nakano I., Lee C., Joo K.M., Rich J.N., Nam D.H., Lee J. 2013. Phosphorylation of EZH2 activates STAT3 signaling via STAT3 methylation and promotes tumorigenicity of glioblastoma stem-like cells. *Cancer Cell*, 23(6):839-852.
  15. Kim K.H., Roberts C.W. 2016. Targeting EZH2 in cancer. *Nature Medicine*, 22(2):128-134.
  16. Kim W.K., Kwon Y., Jang M., Park M., Kim J., Cho S., Jang D.G., Lee W.B., Jung S.H., Choi H.J., Min B.S., Il Kim T., Hong S.P., Paik Y.K., Kim H. 2019. β-catenin activation down-regulates cell-cell junction-related genes and induces epithelial-to-mesenchymal transition in colorectal cancers. *Scientific Reports*, 9(1):18440.
  17. Liu B., Wang C., Chen P., Cheng B., Cheng, Y. 2018. RACK1 induces chemotherapy resistance in esophageal carcinoma by upregulating the PI3K/AKT pathway and Bcl-2 expression. *Onco Targets and Therapy*, 11:211-220.
  18. Liu J., Xiao Q., Xiao J., Niu C., Li Y., Zhang X., Zhou Z., Shu G., Yin G. 2022. Wnt/β-catenin signalling: function, biological mechanisms, and therapeutic opportunities.

- apoptosis in colorectal cancer cells. *Genes*, 7(10):83.
35. Yasuda H., Soejima K., Watanabe H., Kawada I., Nakachi I., Yoda S., Nakayama S., Satomi R., Ikemura S., Terai H., Sato T., Suzuki S., Matsuzaki Y., Naoki K., Ishizaka A. 2010. Distinct epigenetic regulation of tumor suppressor genes in putative cancer stem cells of solid tumors. *International Journal of Oncology*, 37(6):1537-1546.
36. Yi X., Guo J., Guo J., Sun S., Yang P., Wang J., Li Y., Xie L., Cai J., Wang Z. 2017. EZH2-mediated epigenetic silencing of TIMP2 promotes ovarian cancer migration and invasion. *Scientific Reports*, 7(1):3568.
37. Yokoya F., Imamoto N. 1999.  $\beta$ -catenin can be transported into the nucleus in a ran-unassisted manner. *Molecular Biology of the Cell*, 10(4):1119-1131.
38. You B., Yoon J. 2019. HERES a lncRNA that regulates canonical and noncanonical Wnt signaling pathways via interaction with EZH2. *Proceedings of the National Academy of Sciences of the United States of America*, 116(49):24620-24629.
39. Yu F., Yu C., Li F., Zuo Y., Wang Y., Yao L., Wu C., Wang C., Ye L. 2021. Wnt/ $\beta$ -catenin signaling in cancers and targeted therapies. *Signal Transduction and Target Therapy*, 6(1):307.
40. Zhao H., Ming T., Tang S., Ren S., Yang H., Liu M., Tao Q., Xu H. 2022. Wnt signaling in colorectal cancer: pathogenic role and therapeutic target. *Molecular Cancer*, 21(1):144.
- progression and metastasis. *Chinese Journal of Cancer*, 30(9):603-611.
29. Wang J., Zhu X., Hu J., He G., Li X., Wu P., Ren X., Wang F., Liao W., Liang L., Ding Y. 2015. The positive feedback between Snail and DAB2IP regulates EMT, invasion and metastasis in colorectal cancer. *Oncotarget*, 6(29):27427.
30. Wang W., Qin J.J. 2015. Polycomb group (PcG) proteins and human cancers: multifaceted functions and therapeutic implications. *Medicinal Research Reviews*, 35(6):1220-1267.
31. Wang B., Li X., Liu L., Wang M. 2020.  $\beta$ -Catenin: oncogenic role and therapeutic target in cervical cancer. *Biological Research*, 53(1):33.
32. Wen Y., Cai J., Hou Y., Huang Z., Wang Z. 2017. Role of EZH2 in cancer stem cells: from biological insight to a therapeutic target. *Oncotarget*, 8:37974.
33. Xu K., Wu Z.J., Groner A.C., He H.H., Cai C., Lis R.T., Wu X., Stack E.C., Loda M., Liu T., Xu H., Cato L., Thornton J.E., Gregory R.I., Morrissey C., Vessella R.L., Montironi R., Magi-Galluzzi C., Kantoff P.W., Balk S.P., Liu X.S., Brown M. 2012. EZH2 oncogenic activity in castration-resistant prostate cancer cells is Polycomb independent. *Science*, 338(6113):1465-1469.
34. Yao Y., Hu H., Yang Y., Zhou G., Shang Z., Yang X., Sun K., Zhan S., Yu Z., Li P., Pan G., Sun L., Zhu X., He S. 2016. Downregulation of enhancer of zeste homolog 2 (EZH2) is essential for the induction of autophagy and

## Functional evaluation of EZH2 Gene Silencing Effect on $\beta$ -catenin Marker Expression in YM-1 Squamous Cell Carcinoma Cell Line of Esophageal Cancer

Fateme Noormohammadi<sup>1</sup>, Mohammad Mehdi Farzani Fard<sup>1\*</sup>, Vajiheh Zarrinpour<sup>1</sup>, Mohammad Reza Abbaszadegan<sup>2</sup>

1- Department of Biology, Damghan Branch, Islamic Azad University, Damghan, Iran  
2- Medical Genetics Research Center, Faculty of Medicine, Mashhad University of Medical Sciences, Mashhad, Iran

### Abstract

Esophageal cancer is the sixth cause of cancer death in the world and the eighth most common cancer in the world. One of the most characteristic features of this cancer is the resistance to chemo-radiotherapy and the high percentage of recurrence in patients. Beta-catenin marker is one of the main factors of metastasis and invasion in patients. EZH2 gene is a regulatory factor of gene expression and increases the proliferation of tumor cells and maintains the pluripotency of stem cells. EZH2 is aberrantly expressed in a variety of malignant cancers.  $\beta$ -Catenin is a structural component of adherens junctions along with cadherin and the main signaling agent of the Wnt pathway in the nucleus. Aberrant expression of beta-catenin often leads to cancer and metastasis. In this study, the EZH2 gene silencing vector was cloned in Escherichia coli bacteria and then extracted, and the EZH2 gene was silenced in YM-1 esophageal cancer cells. Then RNA extraction and cDNA synthesis were evaluated after confirming EZH2 gene silencing, beta-catenin expression using Real-time PCR technique. Cell migration test was used to check the invasion rate of cells after genetic manipulation. The results showed a decrease in beta-catenin expression in cell lines induced by EZH2 silencing. EZH2 silencing significantly reduced the growth and migration rate of esophageal cancer cells. The results indicate the role of EZH2 gene in regulating beta-catenin gene expression in esophageal squamous cell cancer. Considering that tumor spread is one of the most important factors in the malignancy of ESCC cancer, and on the other hand, these features of esophageal cancer cause premature death of patients due to metastasis and invasion, finding an effective marker in controlling cancer stem cells can be promising for the treatment of ESCC patients.

**Keywords:** Esophageal squamous cell carcinoma, EZH2, shRNA,  $\beta$ -catenin.